

# Cu-Cr-Zr-Mg 合金早期时效析出贯序

余方新, 程建奕, 沈斌

(南昌大学 材料科学与工程学院, 南昌 330031)

**摘要:** 通过透射电镜和高分辨透射电镜研究 Cu-0.69Cr-0.10Zr-0.02Mg 合金在 450 °C 早期时效的析出贯序。研究表明: 合金在 450 °C 早期时效的析出贯序为过饱和固溶体→溶质偏聚→FCC 富 Cr 的 GP 区(I)→FCC 有序富 Cr 的 GP 区(II)→BCC 有序富 Cr 相。在脱溶演变过程中, 析出相和基体之间的界面由完全共格界面向共格-半共格界面转变, 位向关系由立方-立方向 Nishiyama-Wassermann 位向关系转变。共格界面的形成有利于 FCC 富 Cr 相的形成。富 Cr 析出相的有序化加速析出进程, 并有利于 BCC 相的形成, 促进了 Nishiyama-Wassermann 位向关系的发展。

**关键词:** Cu-Cr-Zr-Mg 合金; 析出贯序; 时效; 有序化; 共格界面; 位向关系

中图分类号: TG146

文献标志码: A

## Precipitation sequence of Cu-Cr-Zr-Mg alloy during early aging stage

YU Fang-xin, CHENG Jian-yi, SHEN Bin

(School of Materials Science and Engineering, Nanchang University, Nanchang 330031, China)

**Abstract:** The precipitation process in Cu-0.69Cr-0.10Zr-0.02Mg alloy during the early aging stage at 450 °C was investigated by transmission electron microscopy and high resolution transmission electron microscopy. The precipitation sequence in the Cu-Cr-Zr-Mg alloy aged at 450 °C is supersaturated solid solution → solution segregation → GP zone (I) (FCC Cr-rich phase) → GP zone (II) (ordered FCC Cr-rich phase) → ordered BCC Cr-rich phase. In the evolution of decomposition, the interface between the precipitates and the Cu matrix changes from the full coherent one to the coherent-partial coherent one, and the orientation relationship changes from the cube-on-cube to Nishiyama-Wassermann. The coherent interface between the FCC Cr-rich precipitates and Cu matrix facilitates the formation of the FCC precipitates. The ordering of Cr-rich precipitates accelerates the precipitation process, which facilitates the formation of the BCC precipitates and promotes the development of Nishiyama-Wassermann orientation relationship.

**Key words:** Cu-Cr-Zr-Mg alloy; precipitation sequence; aging; ordering; coherent interface; orientation relationship

Cu-Cr 系合金由于具有良好的强度和导电性以及抗疲劳性能, 在等离子部件、内部热核实验反应堆偏滤器(ITER)<sup>[1-4]</sup>、高速铁路接触导线、引线框架材料、电阻焊电极材料等方面得到了广泛的应用<sup>[5-12]</sup>。它的高强高导性能主要来自于纳米尺寸的富 Cr 相的时效析出。

在过去的 30 年中, 人们对低浓度的 Cu-Cr 二元合金中 Cr 的析出行为已进行了广泛的研究。但由于纳米级 Cr 析出相太细以及应变而引入的衬度的影响, 采用 TEM 观察非常困难。因此, 对 Cr 析出相的结构、形貌和位向关系认识一直众说纷纭。一些研究认为这些亚稳定的 Cr 析出相一直到硬度峰值都具有 FCC 结

基金项目: 国家自然科学基金资助项目(51161018)

收稿日期: 2012-09-13; 修订日期: 2013-05-30

通信作者: 程建奕, 副教授, 博士; 电话: 18970991891; E-mail: bigchengjianyi@163.com

构<sup>[3, 13-15]</sup>, 另外一些研究则认为它具有和纯 Cr 一样的 BCC 结构<sup>[16-17]</sup>。这些问题直到 FUJI 等<sup>[18]</sup>利用不变应变线原理研究 Cr 析出相的形貌、结构和位向关系后才暂时和部分地得到解决。他们认为, Cu-Cr 合金在 500 °C 时效不同的时间, 不论其其析出相尺寸多大, 均为 BCC 结构的 Cr 相。同时, 存在两种明显不同的位向关系, 即近于 Nishiyama-Wassermann (N-W) 和近于 Kurdjumov-Sachs (K-S), 而长时间时效后则只有 K-S 关系, 也就是说具有 K-S 位向关系的粒子是以吞噬具有 N-W 位向关系的粒子而长大。

在过去的十几年中, 四元以上的 Cu-Cr-Zr 系更是由于其优异的高强和高导性能而得到了广泛的研究。少量或微量的 Mg、Fe、Co 以及稀土等作为合金化元素被加入其中<sup>[19-20, 9]</sup>, 以期达到多元、多级强化效果<sup>[21]</sup>。由此, 除 Cr 的析出相外, 在不同成分的 Cu-Cr-Zr 系合金中至少观察到有以下 4 种析出相的存在: 晶内的  $\text{DO}_3$  有序相  $\text{CrCu}_2(\text{Mg}, \text{Zr})^{[22]}$ , 晶界的正交结构的  $\text{Cu}_4\text{Zr}$  相( $a=0.504 \text{ nm}$ ,  $b=0.492 \text{ nm}$ ,  $c=0.664 \text{ nm}$ )<sup>[22-23]</sup>, 晶内的密排六方结构的  $\text{Cu}_{51}\text{Zr}_{14}$  相<sup>[23]</sup>以及面心立方的  $\text{Cu}_5\text{Zr}$ ( $a=0.687 \text{ nm}$ )<sup>[1, 24-25]</sup>。因此, 相变的动力学变得更加复杂。而另一方面, 对合金析出相的形貌、组成和结构研究较少, 对析出过程没有一致的认识。虽然 BATRA 等<sup>[2-3]</sup>对 Cu-1.0%Cr-0.1Zr(质量分数)合金研究后发现, 亚稳的 BCC 有序 Cr 相(B2 型结构)是通过 FCC 有序富 Cr 相前驱体而形成, 但他们的研究局限在单一时效条件(480 °C, 5 h)而难以全面反映析出进程。

本文作者对 Cu-Cr-Zr-Mg 合金在 450 °C 时效条件下的析出过程进行了较全面研究, 得到一个完整的析出贯序, 这对丰富铜合金的固态相变具有重要的科学意义。

## 1 实验

将配制好的电解纯铜、镁块、铬粒和铜锆(10%, 质量分数)中间合金放入真空中频炉中熔炼。熔炼好的 Cu-Cr-Zr-Mg 合金液在 20 mm×100 mm×150 mm 铁模中浇注。利用等离子发射光谱(ICP-AES Optima 5300DV)测得的合金成分列于表 1。将合金铸锭加热到 850 °C 后热轧成厚 10 mm 的板材, 然后将板材进行 960 °C、2 h 的固溶处理、水淬。板材两面刨洗后锯成小块样品, 然后将这些样品在 450 °C 进行不同时间的时效处理。

TEM 样品是从时效态样品锯切下小块, 然后用水磨砂纸磨机械减薄至 0.2 mm 厚, 再用金相砂纸磨至

表 1 Cu-Cr-Zr-Mg 合金的化学成分

**Table 1** Composition of Cu-Cr-Zr-Mg alloy (mass fraction, %)

Cr	Zr	Mg	Al	Cu
0.691	0.101	0.017	0.006	Bal.

30~40 μm。用冲孔机冲出  $d=3 \text{ mm}$  的小圆片, 小圆片在 Gatan Model 950 Duomill 离子减薄仪上进行减薄。为减少离子束对样品的损伤, 减薄仪离子束的初始入射角为 7°, 穿孔后将角度调为 4°, 离子束的能量为 5.2 keV, 再减薄 15 min 即可。显微组织观察在 JEOL 2100F 和 JOEL2010 透射电镜上进行, 工作电压为 200 kV。

## 2 结果与分析

合金在 450 °C、5 min 时效态的显微组织如图 1 所示。从图 1(a)可以看出, 大量的细小的球状析出相粒子弥散分布于铜基体中(尺寸 1~2 nm), 周围有明显的晶格畸变而产生的亮线。这意味着粒子与基体的结构相同, 且完全共格。图 1(b)的  $[112]_{\text{Cu}}$  晶带轴选区电子衍射结果表明, 并没有来自于第二相的衍射斑点出现, 只是铜基体的斑点有明显的拉长迹象。这是典型的 GP 区衍射特征。图 1(c)所示为另一局部的粒子的 GP 区的形貌像, 析出相的衬度较为复杂, 有的呈现暗/暗的蝶形(lobe-lobe)衬度(箭头 P1 所指), 有的呈现亮/亮的蝶形衬度(箭头 P2 所指), 而大部分的粒子为亮的、暗的点状衬度(箭头 P3 所指)。球形 GP 区的应变场衬度偏离经典的 Ashby-Brown 定律<sup>[26]</sup>的现象被认为是粒子尺寸太小的缘故。MCINTYRE 等<sup>[27]</sup>通过引入参数  $P_s$  预测了双光束条件下共格小粒子的衬度行为。

参数  $P_s$  定义为:  $P_s = \mathbf{g}|\varepsilon|r_0^3\xi_g^{-2}$ 。其中,  $\varepsilon$  为错配应变,  $r_0$  为粒子的半径,  $\xi$  为消光距离,  $\mathbf{g}$  为操作衍射矢量。从公式中可以看出, 粒子的大小强烈地影响所观察的衬度类型。共格粒子的衬度随  $P_s$  的变化可从亮/暗的 lobe 衬度和暗的点状衬度( $P_s < 0.2$ )变为暗/暗的 lobe 衬度( $P_s > 0.2$ )。粒子的形貌也以近似球体居多, 还有一些呈针状或片状(箭头 P4 所指)。图 1(d)中的  $[110]_{\text{Cu}}$  晶带轴选区电子衍射谱中也没有明显的来自析出相的衍射斑点存在, 而铜基体的衍射斑点同样有拉长的迹象。上述实验事实意味着, 在此时效条件下 GP 区已经形成, 并且它具有和基体相同的晶体结构和晶胞参数。为了和下文中的 GP 区(II) 相区别, 将之称为 GP

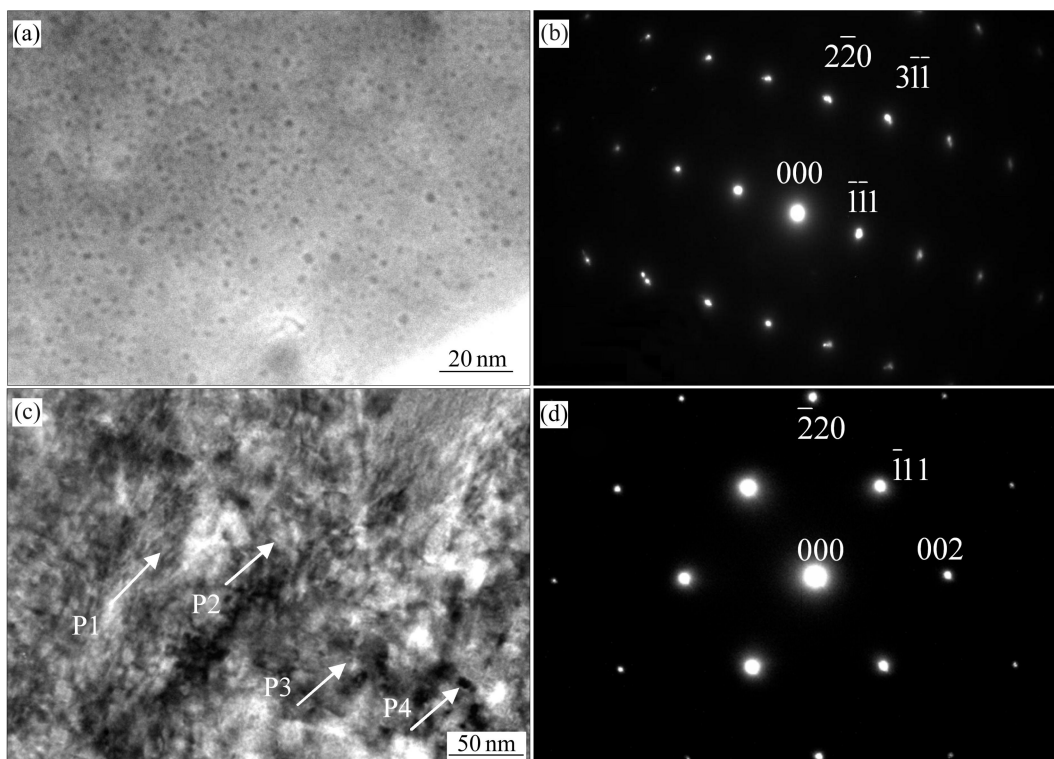


图1 450 °C、5 min时效的合金样品的TEM像及选区电子衍射花样

**Fig. 1** TEM micrographs and corresponding selected area electron diffraction (SAED) patterns of specimen aged at 450 °C for 5 min: (a) GP zone (I); (b) SAED pattern of (a) with zone axis  $[112]_{\text{Cu}}$ ; (c) GP zone (I); (d) SAED pattern of (c) with zone axis  $[110]_{\text{Cu}}$

区(I)。

合金450 °C、8 h时效态的显微组织如图2所示。从图2(a)中可以看出,随着时效时间的延长,粒子长大的趋势并不明显,片状粒子的数量有所增多。图2(a)的 $[011]_{\text{Cu}}$ 选区电子衍射花样出现有序FCC相的衍射斑点,并且在透射斑和FCC衍射斑的中间位置出现超点阵衍射斑点(见图2(b)中箭头所指),暗示溶质原子在析出相粒子的 $\{220\}$ 晶面的偏聚。基体和析出相之间的位向关系为立方-立方关系。从图2(b)还可以看出,析出相的各衍射斑点有各自不同方向的拉长现象。这来自于有序FCC析出相针状变体的几何尺寸效应,这种现象在Cu-Ni-Sn合金<sup>[28]</sup>和Cu-Ti合金中经常见到<sup>[29]</sup>。而基体中各斑点的拉长来自于溶质的偏聚。为了更清楚地显示衍射斑点花样的示意图,图2(c)画出基体和析出相衍射斑点花样的示意图。这种有序FCC相的晶胞参数比铜基体的稍大,经测算它的晶格常数 $a$ 为0.4085 nm,和文献[10, 30]中的FCC的Cr纳米团簇的晶格常数( $a=0.413$  nm)非常一致。在此称之为GP区(II),即有序FCC富Cr相。

在同一薄膜样品中,我们也观察到另一种不同位向关系的片状粒子(见图2(d))。同有序FCC富Cr相相

比,这种析出相稍微粗大,它可能是过饱和固溶体脱溶过程中高级阶段的产物。其相应的 $[112]_{\text{Cu}}$ 选区电子衍射图谱显示于图2(e)。 $(100)_p$ 和相应位置的超点阵衍射斑的存在表明这种析出相具有B2(CsCl型)有序结构。以B2结构标定的结果见图2(f)。此有序BCC析出相的晶胞参数 $a$ 经测算为0.2800 nm,与文献[1]中的BCC纯Cr( $a=0.2885$  nm)非常接近。因此,认为这种析出相是富Cr的有序BCC相。其和基体之间的位向关系为N-W:  $(\bar{1}10)_p // (\bar{1}\bar{1}1)_{\text{Cu}}$ ,  $(001)_p // (1\bar{1}0)_{\text{Cu}}$ ,  $[110]_p // [112]_{\text{Cu}}$ 。

在此位向关系中,基体与析出相之间的最密排面如 $\{111\}_{\text{Cu}}$ 和 $\{110\}_p$ 是相互平行的,而且有序BCC相的面间距 $d_{110}$ 几乎和基体的 $d_{111}$ 完全一样。由于在此衍射图谱中难以区分,以BCC纯Cr相 $d_{110}=0.204$  nm和FCC纯Cu相 $d_{111}=0.209$  nm计算,二者之间的错配度 $\delta$ 只有2.3%。因此,二者之间形成的共格界面可以大大降低系统的总自由能。但 $\{220\}_{\text{Cu}}$ 和 $\{002\}_p$ 之间的错配度 $\delta$ 经测量(铜基体的 $d_{110}=0.1196$  nm,有序BCC富Cr相的 $d_{002}=0.1396$  nm)达到15.4%,属于半共格界面。因此,基体与此富Cr相之间只能形成共格-半共格界面。

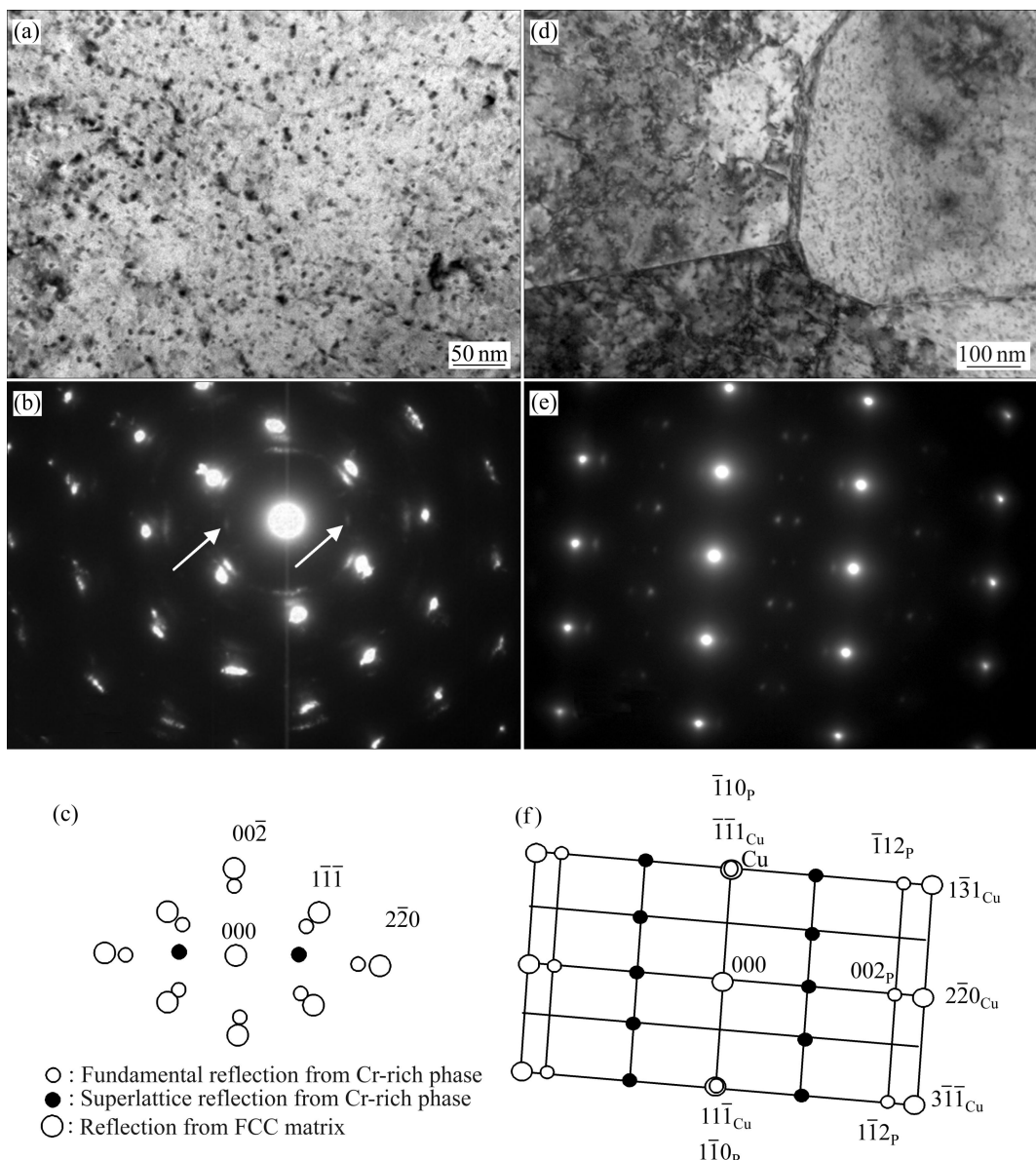


图 2 450 °C、8 h 时效的合金样品 TEM 像及选区电子衍射花样

**Fig. 2** TEM images of specimen aged at 450 °C for 8 h and corresponding SAED patterns: (a) Bright field (BF) micrograph of precipitates; (b) SAED pattern from (a) with zone axis of  $[011]_{Cu}$ ; (d) BF micrograph of coarser plate-like precipitates near grain boundary; (e) SAED pattern from (d) with zone axis of  $[112]_{Cu}$ ; (c), (f) Position of fundamental and superlattice reflections from Cr-rich phase and FCC matrix reflection in (b) and (e), respectively

TANG 等<sup>[22]</sup>认为这种有序相具有 Heusler 结构。此 Heusler 相的成分可能为  $CrCu_2(Zr, Mg)$ , 它的单胞很大, 是一种面心立方点阵, 单胞由 8 个 Cu 原子、4 个 Cr 原子和 4 个 Zr 原子(或镁原子)组成。此单胞又由 8 个 BCC 亚胞构成, 每个亚胞的中心位置被 Cu 原子占据, 亚胞的角顶位置交替被 Cr 原子和 Zr 原子(或 Mg 原子)占据。其亚胞的电子衍射谱如图 2(f)所示。BATRA 等<sup>[2-3]</sup>则认为此析出相为 B2(CsCl 型)有序结构。本文作者认为考虑到以上所述的 Heusler 相的各

原子的占位情况, 二者的观点并不矛盾。但值得注意的是, B2 结构中并不存在图 2(f)中的  $(\frac{-1}{2} \frac{1}{2} \frac{1}{2})$  及对等位置的超点阵斑点。所以, 这种析出相更可能是一种 Heusler 相, 关于这一结构还有待进一步证实。

即使在 450 °C、8 h 的条件下, 仍然可以观察到 GP 区(II)的存在。图 3 所示为  $[110]_{Cu}$  晶带轴的高分辨像。从图 3 中可以发现, GP 区的衬度较暗, 呈球形, 尺寸只有 1~2 nm。从图中方框的选区电子衍射花样中

可以看到,这些GP区的FFT电子衍射花样(见图3(a)中的插图)和图2(b)完全一样,可以判断它同样具有有序FCC结构,且具有立方-立方位向关系。通过FFFT、滤波、反傅里叶变换(FFT inverse)处理后得到的晶格条纹像如图3(b)所示。从图3(b)中可以看出,GP区的{111}面、{200}面和基体的完全平行且共格,图3(c)和图3(e)更证明了这点。图3(d)中GP区的{220}面和基体的{220}面平行,但存在错配位错(图中以上表示)。以上事实表明,即使析出相开始进入粗化阶段,GP区的形核仍在进行。

根据以上实验观察,合金在450 °C时效时脱溶析出相序可总结为过饱和固溶体中溶质偏聚、FCC富Cr的GP区(I)的形成、有序FCC富Cr的GP区(II)的形成和有序BCC(Heusler结构)的富Cr相的形成。这4个阶段相互叠加,难以清晰地分割。伴随整个析出过程,粒子的相貌从小球体向针状、片状转变。析出相与基体的界面由完全共格界面向共格-半共格界面转变,位向关系由立方-立方关系向N-W关系转变。

### 3 讨论

共格界面和有序化在Cu-Cr-Zr-Mg合金的时效析出进程中起到了非常重要的作用。首先,在时效析出的初期阶段,GP区(I)和GP区(II)均与基体形成完全共格的界面。低温时效过程中,虽然这些GP区的脱溶驱动力要比平衡相的小,但是形核势垒也更小。根据文献[31]的报道,Cu-Cr-Zr-Mg合金中基体与富Cr的GP区之间的界面能为 $\gamma=86\text{ mJ/m}^2$ ,而Cr<sub>BCC</sub>/Cu<sub>FCC</sub>之间的界面能高达 $625\text{ mJ/m}^2$ [32]。在不考虑FCC富Cr相与BCC纯Cr相的成分差异及弹性应变能差异的情况下,按照经典形核理论计算(见式(1)),

$$\Delta G^* = \frac{16\pi}{3} \frac{\gamma^3}{(\Delta G_n + \Delta G_{el})^2} \quad (1)$$

式中: $\Delta G^*$ 为形核势垒; $\Delta G_n$ 为形核驱动力; $\Delta G_{el}$ 为共格界面的弹性应变能(由于太小,此处可忽略不计)。

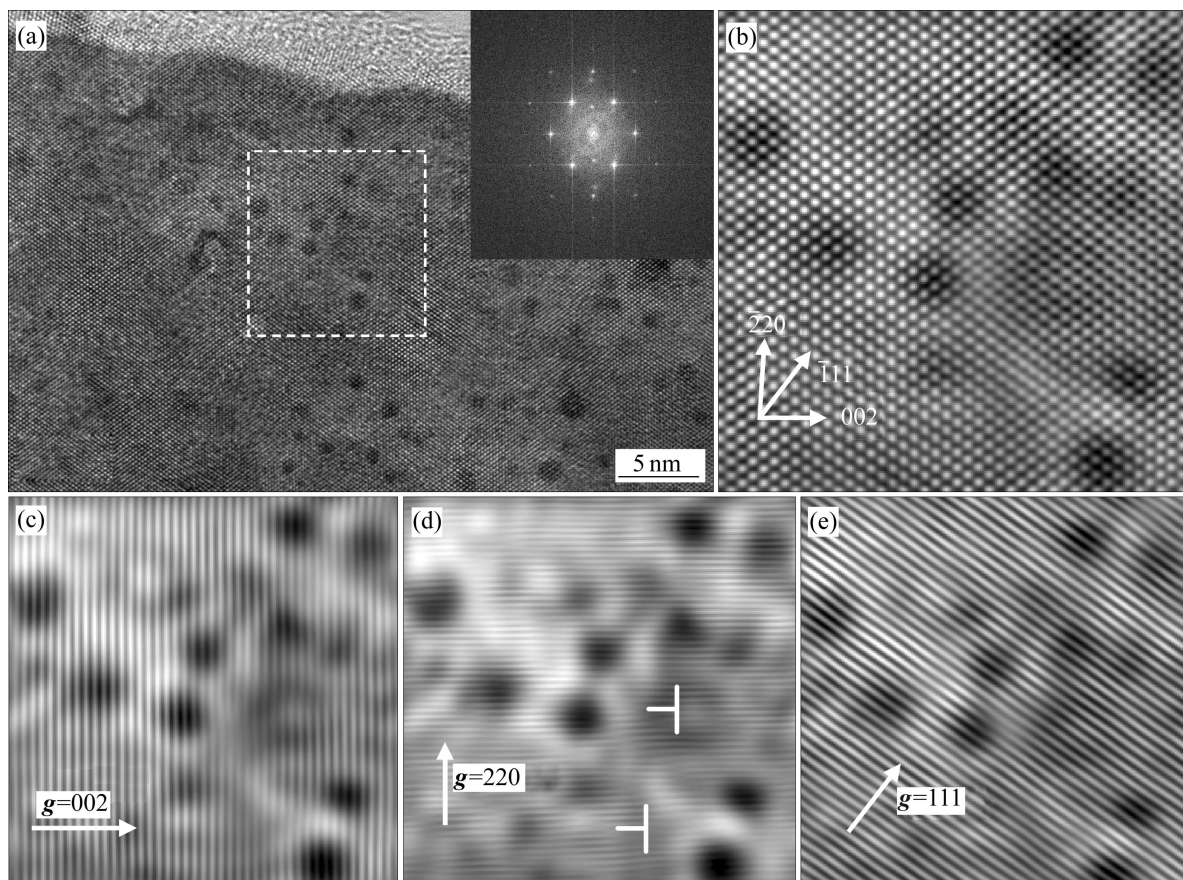


图3 450 °C、8 h时效的合金样品高分辨像、快速傅里叶变换花样及反傅里叶变换花样

**Fig. 3** HRTEM image(a), enlarged FFT image(b) and inverse FFT images((c), (d), (e)) of specimen aged at 450 °C for 8 h (Pattern in inset of Fig.(a) is obtained by FFT)

前者的形核势垒  $\Delta G^*$ (约  $3 \times 10^{-22}$  J)比后者的(约  $4 \times 10^{-20}$  J)要小两个数量级。这意味着 FCC 富 Cr 相比非共格的 BCC 纯 Cr 相的形核更容易。因此, 本合金中虽然同时观察到了 FCC 的析出相和 BCC 的析出相, 但共格的 FCC 析出相比共格-半共格的 BCC 相更早出现。另外, 由于 Cr 与 Cu 的原子半径仅相差 0.78% ( $r_{\text{Cr}}=0.127 \text{ nm}$ ,  $r_{\text{Cu}}=0.128 \text{ nm}$ ), 因此, 本合金中形成的 GP 区多以球状形式存在, 由于形成球状区时的总界面能最小, 从而也使形核势垒最小。故在本合金的低温时效时, GP 区是首先形成的脱溶物。

其次, 有序化过程不同于一般的沉淀析出。有序化仅仅涉及单胞内局部原子的调整, 其在动力学上比长程扩散的沉淀析出速度更快。因此它可以加速沉淀析出的进程和富 Cr 相由 FCC→BCC 的转变速度。另一方面, 有序化使得有序 FCC 富 Cr 相的  $d_{220}$  扩大至有序 BCC 富 Cr 相的  $d_{200}$ , 这也有利于 BCC 析出相的形成, 并可促进 N-W 位向关系的形成。

## 4 结论

- Cu-Cr-Zr-Mg 合金在 450 °C 早期时效阶段的析出相序为过饱和固溶体→GP zone(I)(FCC 富 Cr 相)→GP zone(II)(有序 FCC 富 Cr 相)→有序 BCC 富 Cr 相(Heusler 结构)。

- 伴随析出过程, 析出相和基体的界面由完全共格界面向共格-半共格界面转变, 位向关系由立方-立方向 N-W 位向关系转变, 共格界面的形成有利于 FCC 富 Cr 相的形成。

- 发生在析出过程中的有序化加速了沉淀析出的进程, 并有利于 BCC 析出相及 N-W 位向关系的形成。

### 感谢:

感谢南昌大学材料学院的汤斌兵博士, 作者在他的交流过程中受益良多; 感谢中南大学材料学院的雷前博士、夏成东博士在 TEM 样品制备、资料收集等方面提供的帮助; 感谢中国科技大学工程与材料试验中心的龚明教授在 TEM 实验时提供的便利。

### REFERENCES

- HOLZWARTH U, STAMM H. The precipitation behaviour of ITER-grade Cu-Cr-Zr alloy after simulating the thermal cycle of hot isostatic pressing[J]. Journal of Nuclear Materials, 2000, 279: 31–45.
- BATRA I S, DEY G K, KULKARNI U D, BANERJEE S. Microstructure and properties of a Cu-Cr-Zr alloy[J]. Journal of Nuclear Materials, 2001, 299: 91–100.
- BATRA I S, DEY G K, KULKARNI U D, BANERJEE S. Precipitation in a Cu-Cr-Zr alloy[J]. Materials Science and Engineering A, 2002, 356: 32–36.
- KALININ G, BARABASH V, CARELLA A, DIETA J, IOKI K, MATERA R, SANRORO R T, TIVEYR, The ITER home teams. assessment and selection of materials for ITER in vessel components[J]. Journal of Nuclear Materials, 2000, 283/287: 10–19.
- 刘平, 康布熙, 曹兴国, 黄金亮, 顾海澄. 快速凝固 Cu-Cr 合金时效析出的共格强化效应[J]. 金属学报, 1999, 35: 561–564.
- LIU Ping, KANG Bu-xi, CAO Xing-guo, HUANG Jin-liang, GU Hai-cheng. Coherent strengthening of aging precipitation in rapidly solidified Cu-Cr alloy[J]. Acta Metallurgica Sinica, 1999, 35: 561–564.
- 慕思国, 曹兴民, 汤玉琼, 向朝建, 杨春秀, 郭富安, 唐漠堂. 时效 Cu-Cr-Zr-Mg-RE 合金的组织和性能[J]. 中国有色金属学报, 2007, 17(7): 1112–1118.
- MU Si-guo, CAO Xing-min, TANG Yu-qiong, XIANG Chao-jian, YANG Chun-xiu, GUO Fu-an, TANG Mo-tang. Microstructure and properties of aging Cu-Cr-Zr-Mg-RE alloy[J]. The Chinese Journal of Nonferrous Metals, 2007, 17(7): 1112–1118.
- 钟建伟, 周海涛, 赵仲恺, 李庆波, 周啸. 形变热处理对 Cu-Cr-Zr 合金时效组织和性能的影响[J]. 中国有色金属学报, 2008, 18(6): 1032–1038.
- ZHONG Jian-wei, ZHOU Hai-tao, ZHAO Zhong-kai, LI Qing-bo, ZHOU Xiao. Effects of thermomechanical heat treatment processing on microstructure and properties of Cu-Cr-Zr alloy[J]. The Chinese Journal of Nonferrous Metals, 2008, 18(6): 1032–1038.
- 董企铭, 苏娟华, 刘平, 李贺军, 康布熙. Cu-Cr-Zr-Mg 合金时效析出研究[J]. 材料热处理学报, 2004, 25: 38–41.
- DONG Qi-ming, SU Juan-hua, LIU Ping, LI He-jun, KANG Bu-xi. Age precipitation of Cu-Cr-Zr-Mg alloy[J]. Transaction Materials and Heat Treatment, 2004, 25: 38–41.
- POBLANO-SALAS C A. The effect of cobalt additions on the mechanical and electrical properties of Cu-Cr-Zr melt-spun ribbons[J]. Materials Science and Engineering A, 2008, 491: 309–314.
- XIA C D, ZHANG W, KANG Z, JIA Y L, WU Y F, ZHANG R, XU G Y, WANG M P. High strength and high electrical conductivity Cu-Cr system alloys manufactured by hot rolling-quenching process and thermomechanical treatments[J]. Materials Science and Engineering A, 2012, 532: 295–301.

- [11] LIU Q, ZHANG X, ZHANG X, GE Y, WANG J, CUI J Z. Effect of processing and heat treatment on behavior of Cu-Cr-Zr alloys to railway contact wire[J]. Metallurgical and Materials Transactions A, 2006, 37: 3233–3238.
- [12] XIA C D, JIA Y L, ZHANG W, ZHANG K, DONG Q Y, XU G Y, WANG M P. Study of deformation and aging behaviors of a hot rolled-quenched Cu-Cr-Zr-Mg-Si alloy during thermo-mechanical treatments[J]. Materials and Design, 2012, 39: 404–409.
- [13] KNIGHTS R W, WILKES P. Precipitation of chromium in copper and copper-nickel base alloys[J]. Metallurgical Transaction, 1973, 4: 2389–2393.
- [14] RDZAWSKI Z, STOBRAWA J. Structure of coherent chromium precipitates in aged copper alloys[J]. Scripta Metallurgica et Materialia, 1986, 20: 341–344.
- [15] KAMIO T, FURUKAWA T, WATANABE M. Homogeneous nucleation of coherent precipitation in copper-chromium alloys[J]. Acta Metallurgica et Materialia, 1988, 36: 1763–1769.
- [16] WEATHERLY G C, HUMBLE P, BORLAND D. Precipitation in a Cu-0.55 wt% Cr alloy[J]. Acta Metallurgica et Materialia, 1979, 27: 1815–1828.
- [17] KOMEN Y, REZEK J. Precipitation at coherency loss in Cu-0.35 wt pct Cr[J]. Metallurgical Transactions A, 1975, 6: 549–51.
- [18] FUJI T, NAKAZAWA H, KATO M, DAHMEN U. Crystallography and morphology of nanosized Cr particles in a Cu-0.2% Cr alloy[J]. Acta Materialia, 2000, 48: 1033–1045.
- [19] FERNEE H, NAIRN J, ATRENS A. Precipitation hardening of Cu-Fe-Cr alloys. part I : Mechanical and electrical properties[J]. Journal of Materials Science, 2001, 36: 2721–2741.
- [20] SU J, LIU P, LI H, REN F, DONG Q. Phase transformation in Cu-Cr-Zr-Mg alloy[J]. Materials Letters, 2007, 61: 4963–4966.
- [21] 姜峰, 陈小波, 陈蒙, 蒋龙, 向周丹, 王炜. 高强高导 Cu-Cr-Zr 系合金纳米析出相及其作用机理的研究进展[J]. 材料导报, 2009, 23(1): 72–76.
- JIANG Feng, CHEN Xiao-bo, CHEN Meng, JIANG Long, XIANG Zhou-dan, WANG Wei. Research progress in nano-sized precipitation and phase mechanism of High-strength and High-conductivity Cu-Cr-Zr alloy[J]. Materials Review, 2009, 23(1): 72–76.
- [22] TANG N Y, TAPLIN D M, DUNLOP G L. Precipitation and aging in high-conductivity Cu-Cr alloys with additions of zirconium and magnesium[J]. Materials Science and Technology, 1985, 1: 270–275.
- [23] HUANG F X, MA J S, NING H L, GENG Z T, LU C, GUO SM, YU X T, WANG T, LI H, LOU H F. Analysis of phases in a Cu-Cr-Zr alloy[J]. Scripta Materialia, 2003, 48: 97–102.
- [24] LI H Q, XIE S S, MI X J, WU P Y. Phase and microstructure analysis of Cu-Cr-Zr alloys[J]. Journal of Materials Science and Technology, 2007, 23: 795–800.
- [25] WATANABE C, MONZEN R, TAZAKI K. Mechanical properties of Cu-Cr system alloys with and without Zr and Ag[J]. Journal of Materials Science, 2008, 43: 813–819.
- [26] ASHBY M F, BROWN L M. Diffraction contrast from spherically symmetrical coherency strains[J]. Philosophical Magazine, 1963, 8: 1083–1103.
- [27] MCINTYRE K G, BROWN L M. Anomalous images in electron microscopy[J]. Journal de Physique (Orsay) Colloques, 1966, 27: 178–182.
- [28] ZHAO J C, NOTIS M R. Spinodal decomposition, ordering transformation and discontinuous precipitation in a Cu-15Ni-8Sn alloy[J]. Acta Materialia, 1998, 46: 4203–4218.
- [29] BATRA I S, DEY G K, KULKARNI U D, BANERJEE S. On the sequence of clustering and ordering in a meltspun Cu-Ti alloy[J]. Materials Science and Engineering A, 2003, 360: 220–227.
- [30] HUH S H, KIM H K, PARK J W, LEE G H. Critical cluster size of metallic Cr and Mo nanoclusters[J]. Physical Review B, 2000, 62: 2937–2943.
- [31] CHBIHI A, SAUVAGE X, BLAVETTE D. Atomic scale investigation of Cr precipitation in copper[J]. Acta Materialia, 2012, 60: 4575–4585.
- [32] AGUILAR C, MARTINEZ V, PALACIOS J M, ORDONEZ S, PAVEZ O. A thermodynamic approach to energy storage on mechanical alloying of the Cu-Cr system[J]. Scripta Materialia, 2007, 7: 213–216.

(编辑 李艳红)